



Характеристика	Начальная магнитная проницаемость		Дюлекс	H	Магнитная индукция насыщения		Остаточная магнитная индукция	Корреляционная сила		Потери мощности							Осцилляционный коэффициент потерь		Температура Кюри	Сопротивление материала	
	$\mu_{\text{нас}}$	$\Delta\mu_{\text{нас}}$			$B_{\text{с}}$	B_r		H_c	A/m	A/m	H_c	f	B	$\tan\delta/\mu_{\text{нас}}$	f	B	$\tan\delta/\mu_{\text{нас}}$	T_c			r
Ед. измерения	$\mu_{\text{нас}}$	%	$\Delta\mu_{\text{нас}}$	A/m	mT	mT	mT	A/m	A/m	kHz	mT	kHz	mT	$\times 10^{-6}$	$\times 10^{-6}$	°C	Ωm				
$f_{\text{ТЕСТ}}$	10	10			10									25		10					
$B_{\text{ТЕСТ}}$	0.1							насыщение						25							
$T_{\text{ТЕСТ}}$	25	25	25	25	25	100	25	25	25	10	0.10	2.5	2.5	25	10	0.10	25				
CF129	1900	20	1000	20	1000	510	410	180	15	16	25	25	100	25	100	100	100	10	0.10	240	1.0
CF196	2000	20	1000	20	1000	500	400	210	16	200	200	200	100	100	200	200	200	10	0.10	200	0.4
CF138	2100	20	1000	20	1000	480	380	180	15	95	60	140	95					10	0.10	220	2-4
CF140	2500	20	1000	20	1000	390	310	110	24					155	80	800	500	10	0.10	150	1.0
CF124	2500	20	1000	20	1000	490	390	200	16	100	90	150	130					10	0.10	200	0.5
CF101	3000	20	1000	20	1000	490	390	200	15	100	120	150	170					10	0.10	190	0.4
CF191	4300	20	1000	20	1000	450	300	150	12									10	0.10	140	0.2
CF192	5000	20	1000	20	1000	400	280	150	10									10	0.10	120	0.2
CF195	5000	20	1000	20	1000	400	260	150	12									10	0.10	130	0.8
CF190	6000	20	1000	20	1000	400	280	150	10									10	0.10	120	0.5
CF197	7500	20	1000	20	1000	400	260	150	12									10	0.10	125	0.5

Примечания:

1. Результаты измерений, приведенные в таблице, получены для тора T2.512
2. Все МАТЕРИАЛЫ ИМЕЮТ ПЛОТНОСТЬ $4.8 \times 10^3 \text{ Kg/m}^3$

EC

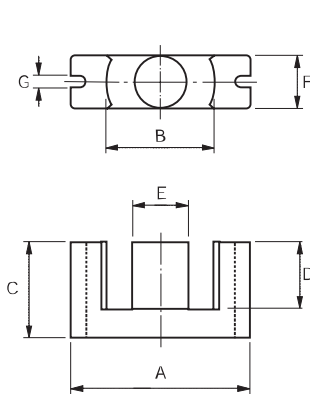


Fig. 1

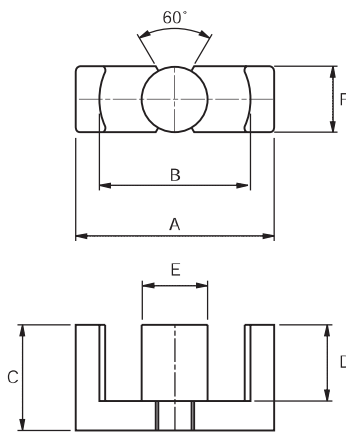


Fig. 2

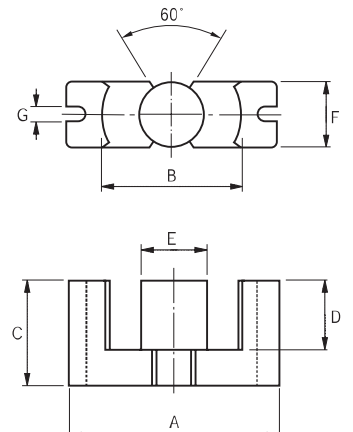


Fig. 3

TYPE	FIG	DIMENSIONS (mm)							EFFECTIVE PARAMETERS				WEIGHT (gms/pair)
		A	B	C	D	E	F	G	Le (mm)	Ae (mm ²)	Amin (mm ²)	Ve (mm ³)	
EC 7017	1	70,00±1,70	44,50±1,20	34,50±0,30	22,75±0,45	16,40±0,40	16,40±0,40	4,75±0,25	144	279	211	40176	252
EC 4215	2	42,00±0,60	29,4 min	22,40±0,20	15,40±0,30	15,50±0,20	15,50±0,25	—	99.1	200	189	19820	103
EC 4112	3	40,60±1,00	26,30 ^{+1,50}	19,35 ^{+0,30}	13,50 ^{+0,80}	11,90 _{-0,60}	11,90 _{-0,60}	3,00±0,50	89.3	121	106	10805	56
EC 4013L	2	40,00±0,40	29,6 min	24,00±0,20	17,00±0,25	13,25±0,25	13,40±0,20	—	105	147	138	15435	79
EC 4013	2	40,00±0,40	29,6 min	22,32±0,20	15,75±0,20	13,25±0,25	13,40±0,20	—	102	147	138	14994	73.5
EC 3510	1	34,50±0,80	22,75±0,55	17,30±0,15	11,90 ^{+0,70}	9,80 _{-0,60}	9,80 _{-0,60}	2,75±0,25	77.4	84.3	71	6525	36

EFF

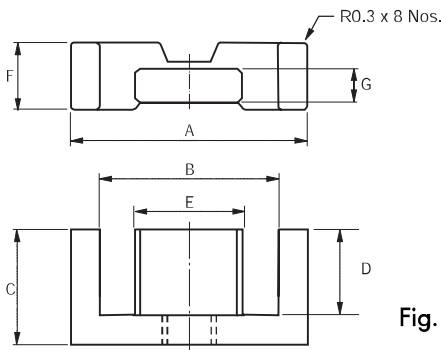


Fig. 1

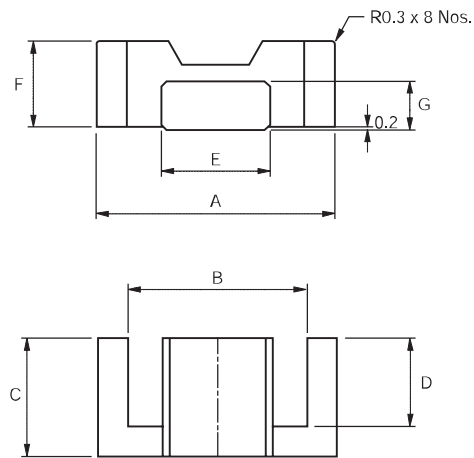


Fig. 2

TYPE	FIG	DIMENSIONS (mm)							EFFECTIVE PARAMETERS				WEIGHT (gms/pair)
		A	B	C	D	E	F	G	Le (mm)	Ae (mm ²)	Amin (mm ²)	Ve (mm ³)	
EFF 3009	1	30,00±0,80	22,40±0,75	15,00±0,15	11,20±0,30	14,60±0,25	9,10±0,20	4,90±0,15	68	69	69	4692	22.50
EFF 2509	1	25,00±0,65	18,70±0,60	12,50±0,15	9,30±0,25	11,40±0,20	9,10±0,20	5,20±0,15	57	58	55	3300	16
EFF 2309	1	22,80±0,50	16,80±0,40	15,00±0,15	11,00±0,15	10,00±0,25	8,60±0,25	4,50±0,15	65	56.5	45	3672	17
EFF 2007	1	20,00±0,55	15,40±0,50	10,00±0,15	7,70±0,25	8,90±0,20	6,65±0,15	3,60±0,15	47	31	29	1460	7
EFF 1505	2	15,00±0,40	11,00±0,35	7,50±0,15	5,50±0,25	5,30±0,25	4,65±0,15	2,40±0,10	34	15	12,2	510	2,80